

On propose un schéma DDFV (DISCRETE DUALITY FINITE VOLUME) pour le problème de Stokes :

Trouver  $u : \Omega \rightarrow \mathbb{R}^2$  et  $p : \Omega \rightarrow \mathbb{R}$ ,

$$\begin{cases} -\Delta u + \nabla p = f, & \text{dans } \Omega, \\ \operatorname{div}(u) = 0, & \text{dans } \Omega, \\ u = 0, & \text{sur } \partial\Omega, \end{cases} \quad (P)$$

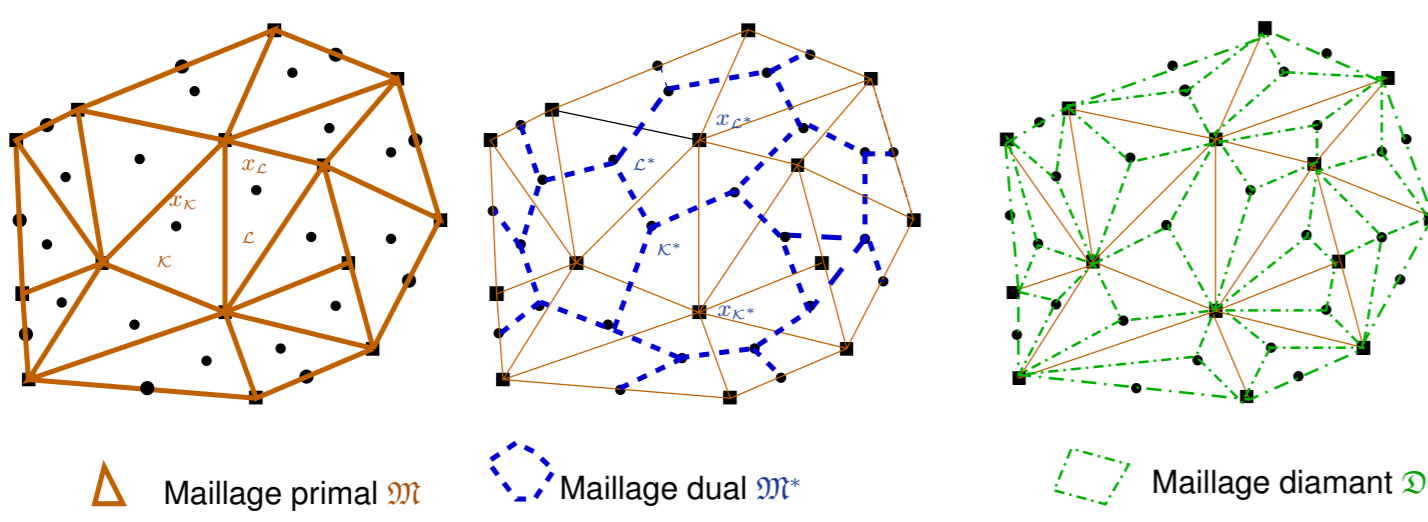
$\Omega$  ouvert polygonal borné connexe de  $\mathbb{R}^2$ ,  $f \in (L^2(\Omega))^2$ .

• Inf-Sup inégalité :

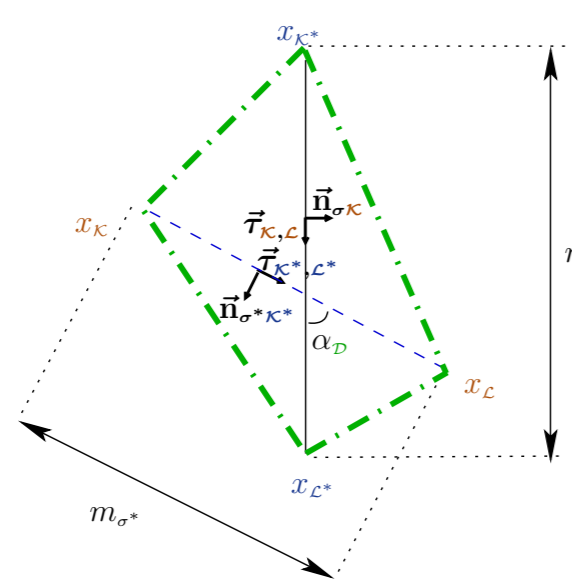
$$\beta = \inf_{p \in L^2(\Omega)} \left( \sup_{v \in (H_0^1(\Omega))^2} \frac{\int_{\Omega} p \operatorname{div}(v)}{\|v\|_{H^1} \|p - m(p)\|_{L^2}} \right) > 0.$$

## 1. Cadre DDFV

• Maillages DDFV : primal, dual et "diamant".



• Zoom sur les cellules diamants : (supposées convexes)



• Inconnues discrètes :

$$p^{\mathcal{D}} = (p^{\mathcal{D}})_{\mathcal{D} \in \mathcal{M}} \in \mathbb{R}^{\mathcal{D}}, \quad u^{\mathcal{T}} = (u^{\mathcal{M}}, u^{\mathcal{M}^*}) \in (\mathbb{R}^2)^{\mathcal{T}}$$

où  $u^{\mathcal{M}} = (u_{\mathcal{K}})_{\mathcal{K} \in \mathcal{M} \cup \partial\mathcal{M}}$ ,  $u^{\mathcal{M}^*} = (u_{\mathcal{K}^*})_{\mathcal{K}^* \in \mathcal{M}^* \cup \partial\mathcal{M}^*}$ .

• Gradient discret :  $\nabla^{\mathcal{D}}$  est constant sur chaque diamant,

$$\begin{aligned} \nabla^{\mathcal{D}} u^{\mathcal{T}} \cdot (x_{\mathcal{L}} - x_{\mathcal{K}}) &= u_{\mathcal{L}} - u_{\mathcal{K}}, \\ \nabla^{\mathcal{D}} u^{\mathcal{T}} \cdot (x_{\mathcal{L}^*} - x_{\mathcal{K}^*}) &= u_{\mathcal{L}^*} - u_{\mathcal{K}^*}, \end{aligned}$$

$$\nabla^{\mathcal{D}} u^{\mathcal{T}} = \frac{1}{\sin(\alpha_{\mathcal{D}})} \left[ \frac{u_{\mathcal{L}} - u_{\mathcal{K}}}{m_{\sigma^*}} \otimes \tilde{n}_{\sigma^*} + \frac{u_{\mathcal{L}^*} - u_{\mathcal{K}^*}}{m_{\sigma}} \otimes \tilde{n}_{\sigma^*} \right].$$

• Divergence discrète sur le maillage diamant :

$$\operatorname{div}^{\mathcal{D}} u^{\mathcal{T}} = \operatorname{Tr}(\nabla^{\mathcal{D}} u^{\mathcal{T}}), \quad \forall \mathcal{D} \in \mathcal{D}.$$

• Divergence discrète sur les maillages primal et dual :

$$\operatorname{div}^{\mathcal{T}}(\xi^{\mathcal{D}}) = \begin{cases} \operatorname{div}^{\mathcal{K}} \xi^{\mathcal{D}} = \frac{1}{m_{\mathcal{K}}} \sum_{\sigma \subset \partial \mathcal{K}} m_{\sigma} \xi^{\mathcal{D}} \tilde{n}_{\sigma \mathcal{K}}, & \forall \mathcal{K} \in \mathcal{M}, \\ \operatorname{div}^{\mathcal{K}^*} \xi^{\mathcal{D}} = \frac{1}{m_{\mathcal{K}^*}} \sum_{\sigma^* \subset \partial \mathcal{K}^*} m_{\sigma^*} \xi^{\mathcal{D}} \tilde{n}_{\sigma^* \mathcal{K}^*}, & \forall \mathcal{K}^* \in \mathcal{M}^*. \end{cases}$$

Gradient de pression  $\rightsquigarrow \nabla^{\mathcal{T}} p^{\mathcal{D}} = \operatorname{div}^{\mathcal{T}}(p^{\mathcal{D}} \operatorname{Id})$ .

• Produits scalaires discrets et normes associées :

Pour  $p^{\mathcal{D}}, q^{\mathcal{D}} \in \mathbb{R}^{\mathcal{D}}$  et  $\xi^{\mathcal{D}}, \phi^{\mathcal{D}} \in (\mathcal{M}_2(\mathbb{R}))^{\mathcal{D}}$ ,

$$\begin{aligned} (p^{\mathcal{D}}, q^{\mathcal{D}})_{\mathcal{D}} &= \sum_{\mathcal{D} \in \mathcal{D}} m_{\mathcal{D}} p^{\mathcal{D}} q^{\mathcal{D}}, \quad \|p^{\mathcal{D}}\|_{\mathcal{D},2} = (p^{\mathcal{D}}, p^{\mathcal{D}})_{\mathcal{D}}^{\frac{1}{2}}, \\ (\xi^{\mathcal{D}}, \phi^{\mathcal{D}})_{\mathcal{D}} &= \sum_{\mathcal{D} \in \mathcal{D}} m_{\mathcal{D}} \operatorname{Tr}(\xi^{\mathcal{D}} \phi^{\mathcal{D}}), \quad \|\xi^{\mathcal{D}}\|_{\mathcal{D},2} = (\xi^{\mathcal{D}}, \xi^{\mathcal{D}})_{\mathcal{D}}^{\frac{1}{2}}. \end{aligned}$$

• Schéma Stokes-DDFV :

Trouver  $u^{\mathcal{T}} \in \mathbb{E}_0$  et  $p^{\mathcal{D}} \in \mathbb{R}^{\mathcal{D}}$  tels que :

$$\begin{cases} -\operatorname{div}^{\mathcal{T}}(\nabla^{\mathcal{D}} u^{\mathcal{T}}) + \nabla^{\mathcal{T}} p^{\mathcal{D}} = f^{\mathcal{T}}, \\ \operatorname{div}^{\mathcal{D}} u^{\mathcal{T}} = 0, \\ m(p^{\mathcal{D}}) = \sum_{\mathcal{D} \in \mathcal{D}} m_{\mathcal{D}} p^{\mathcal{D}} = 0. \end{cases}$$

où  $\mathbb{E}_0 = \{u^{\mathcal{T}} \in (\mathbb{R}^2)^{\mathcal{T}} : \forall \mathcal{K} \in \partial\mathcal{M}, u_{\mathcal{K}} = 0, \forall \mathcal{K}^* \in \partial\mathcal{M}^*, u_{\mathcal{K}^*} = 0\}$

• Constante Inf-Sup discrète associée :

$$\beta_{\mathcal{T}} = \inf_{p^{\mathcal{D}} \in \mathbb{R}^{\mathcal{D}}} \left( \sup_{v^{\mathcal{T}} \in \mathbb{E}_0} \frac{(\operatorname{div}^{\mathcal{D}} v^{\mathcal{T}}, p^{\mathcal{D}})_{\mathcal{D}}}{\|v^{\mathcal{T}}\|_{\mathcal{D},2} \|p^{\mathcal{D}} - m(p^{\mathcal{D}})\|_{\mathcal{D},2}} \right)$$

## Principales questions :

1. **Bien posé** : Pour un maillage donné, a-t-on  $\beta_{\mathcal{T}} > 0$  ?

2. **Stabilité** : Pour une famille de maillages, a-t-on  $\liminf_{\operatorname{size}(\mathcal{T}) \rightarrow 0} \beta_{\mathcal{T}} > 0$  ?

## 2. Formulation comme un problème de valeurs propres

• Quelques matrices utiles :

Rigidité  $R_{\mathcal{T}} : (R_{\mathcal{T}} u^{\mathcal{T}}, v^{\mathcal{T}}) = (\nabla^{\mathcal{D}} u^{\mathcal{T}} : \nabla^{\mathcal{D}} v^{\mathcal{T}})_{\mathcal{D}}$ ,

Divergence  $B_{\mathcal{T}} : (B_{\mathcal{T}} v^{\mathcal{T}}, p^{\mathcal{D}}) = (\operatorname{div}^{\mathcal{D}} v^{\mathcal{T}}, p^{\mathcal{D}})_{\mathcal{D}}$ ,

Masse en pression  $M_{\mathcal{T}} : (M_{\mathcal{T}} p^{\mathcal{D}}, q^{\mathcal{D}}) = (p^{\mathcal{D}}, q^{\mathcal{D}})_{\mathcal{D}}$ .

**Lemme** : Relation avec le complément de Schur

$\beta_{\mathcal{T}}^2$  est la **seconde** plus petite valeur propre de la matrice  $S_{\mathcal{T}}$   
 $= \lambda_2(S_{\mathcal{T}})$  où  $S_{\mathcal{T}} = M_{\mathcal{T}}^{-\frac{1}{2}} B_{\mathcal{T}} R_{\mathcal{T}}^{-1} B_{\mathcal{T}} M_{\mathcal{T}}^{-\frac{1}{2}}$ .

**Remarque** :  $\bar{p}^{\mathcal{D}} = M_{\mathcal{T}}^{-\frac{1}{2}} \mathbf{1} \Rightarrow S_{\mathcal{T}} \bar{p}^{\mathcal{D}} = 0 \Rightarrow \lambda_1(S_{\mathcal{T}}) = 0$ .

**Preuve** : Manipulations algébriques à partir de la formule :

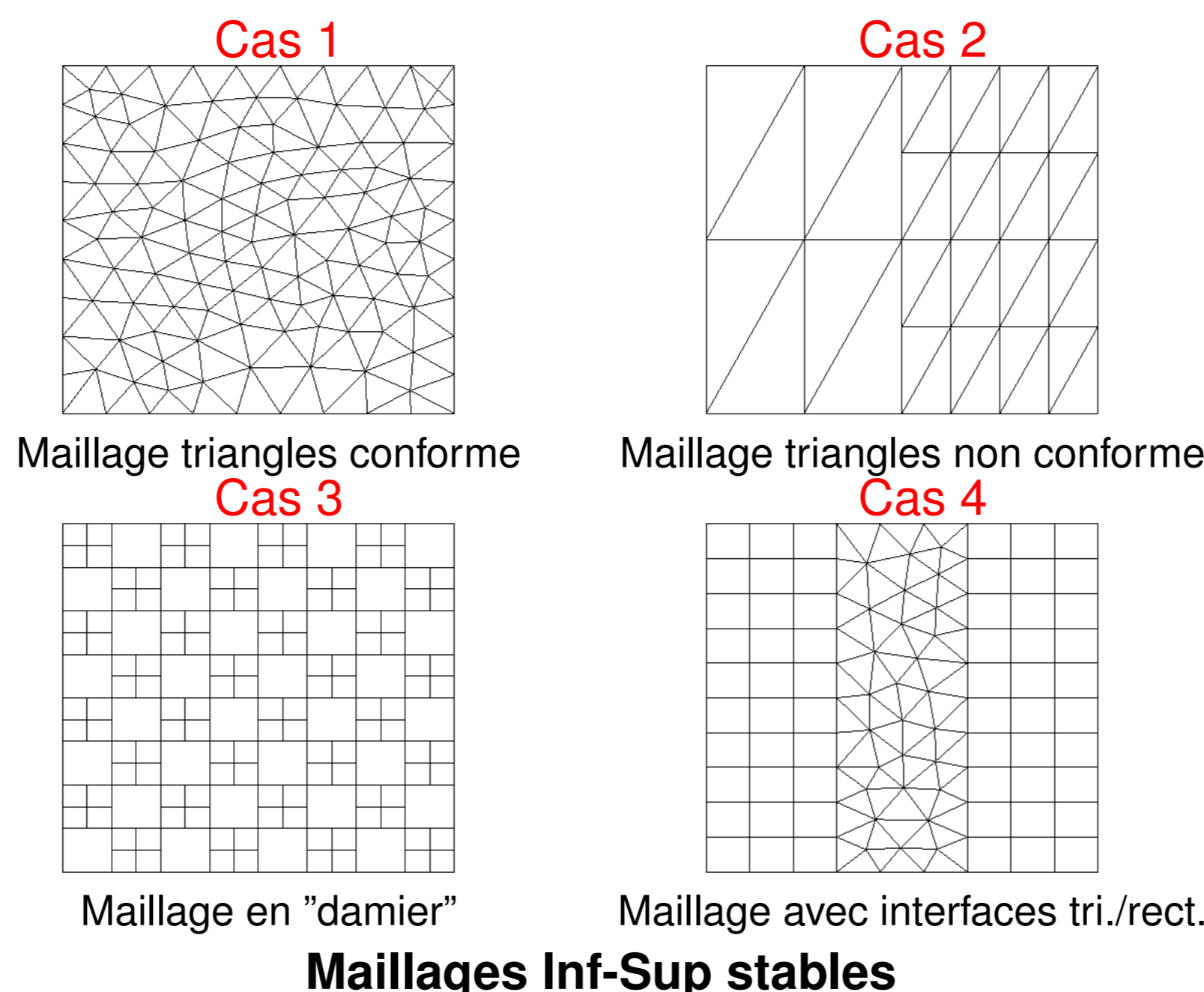
$$\beta_{\mathcal{T}} = \inf_{p^{\mathcal{D}} \in \mathbb{R}^{\mathcal{D}}} \left( \sup_{v^{\mathcal{T}} \in \mathbb{E}_0} \frac{(B_{\mathcal{T}} v^{\mathcal{T}}, p^{\mathcal{D}})_{\mathcal{D}}}{(R_{\mathcal{T}} v^{\mathcal{T}}, v^{\mathcal{T}})^{\frac{1}{2}} (M_{\mathcal{T}} p^{\mathcal{D}}, p^{\mathcal{D}})^{\frac{1}{2}}} \right).$$

• Méthode numérique :

$\rightsquigarrow$  Méthode d'itération de sous-espaces avec projection de Rayleigh-Ritz.

$\rightsquigarrow$  Résolution d'un problème de Stokes à chaque itération.

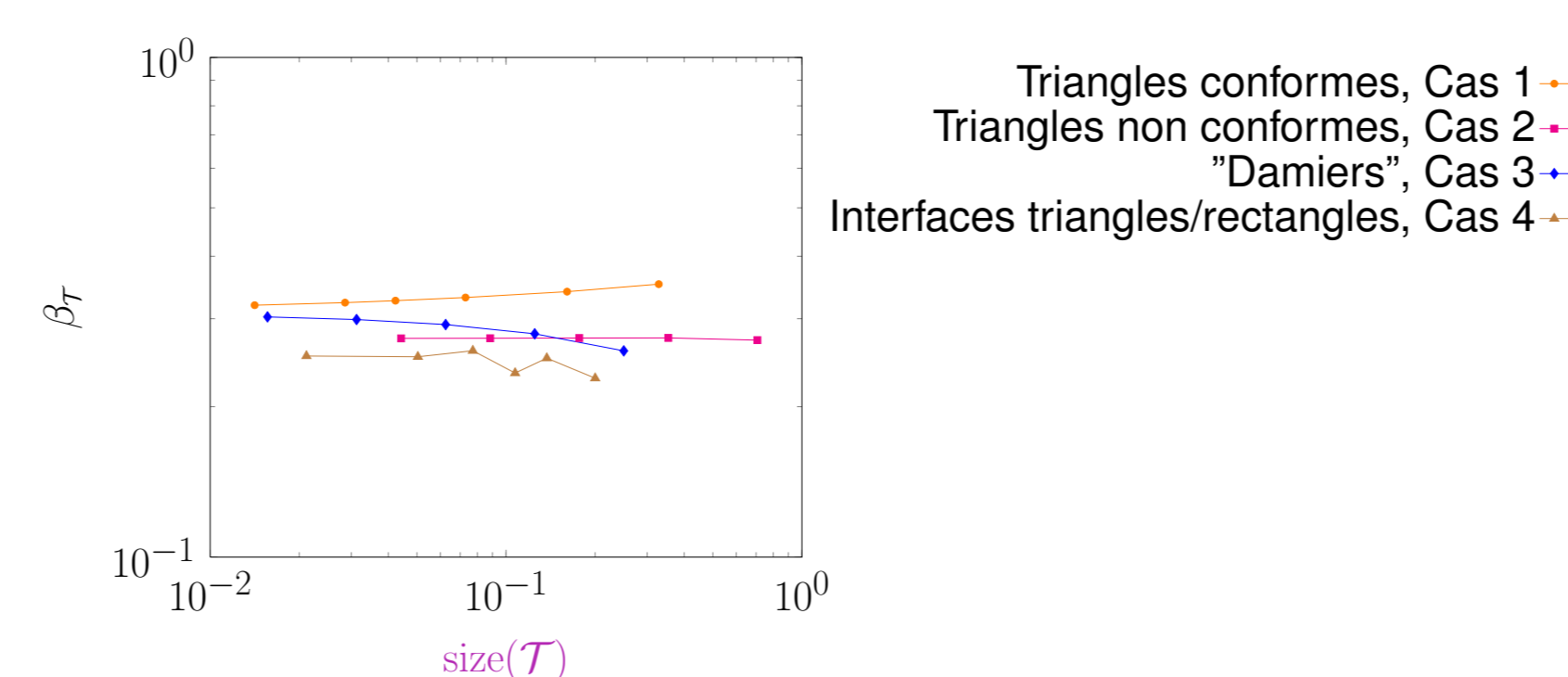
## 3. Stabilité Inf-Sup inconditionnelle



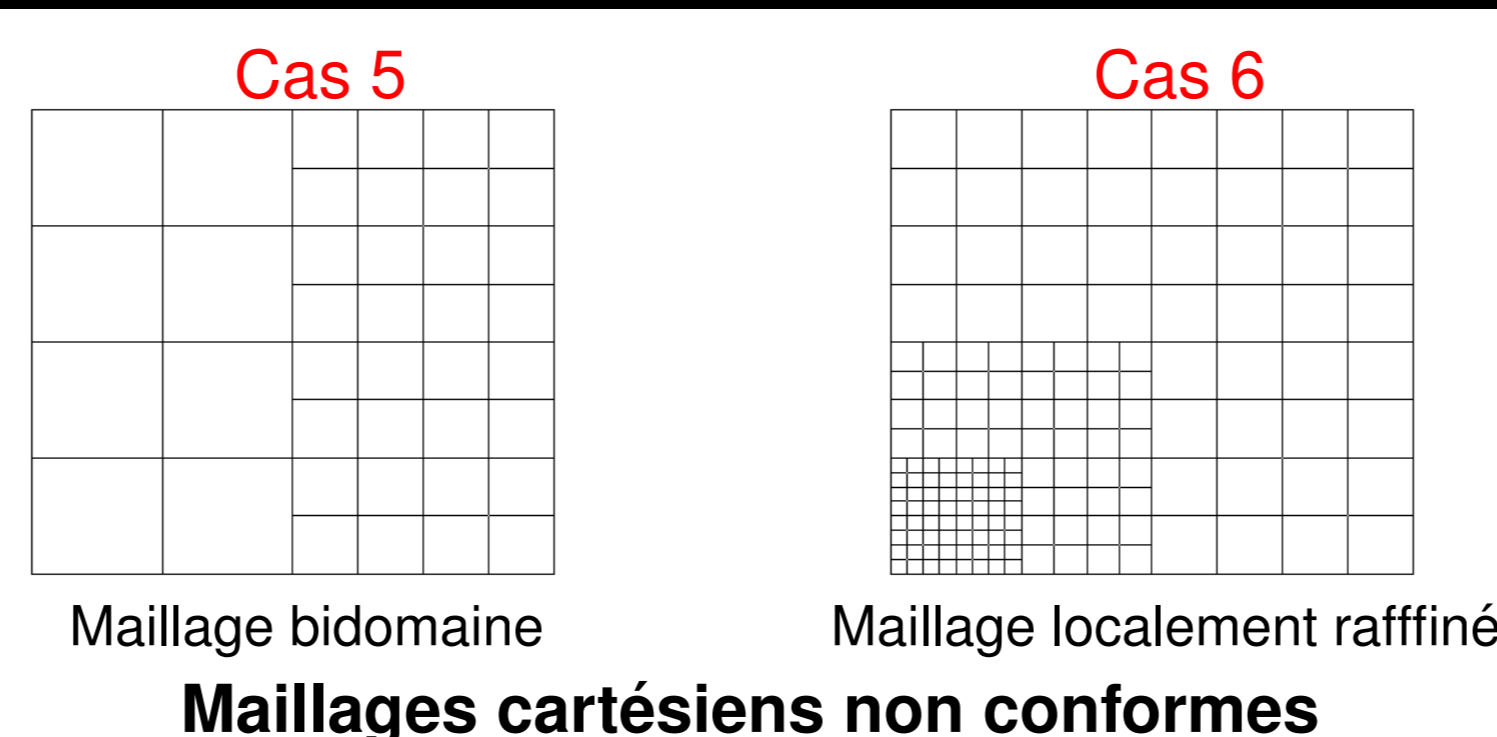
Maillages Inf-Sup stables

**Théorème** : Soit  $\mathcal{T}$  une famille régulière de maillages triangles conformes (cas 1) ou de triangles non conformes (cas 2) ou de maillages "en damier" (cas 3). Il existe  $\beta_{\mathcal{T}} > 0$  (indépendante de  $\operatorname{size}(\mathcal{T})$ ) telle que pour tout  $p^{\mathcal{D}} \in \mathbb{R}^{\mathcal{D}}$ ,

$$\beta_{\mathcal{T}} \|p^{\mathcal{D}} - m(p^{\mathcal{D}})\|_{\mathcal{D},2} \leq \sup_{v^{\mathcal{T}} \in \mathbb{E}_0} \left( \frac{(\operatorname{div}^{\mathcal{D}} v^{\mathcal{T}}, p^{\mathcal{D}})_{\mathcal{D}}}{\|\nabla^{\mathcal{D}} v^{\mathcal{T}}\|_{\mathcal{D},2}} \right).$$



## 4. Stabilité Inf-Sup de codimension 1



Maillages cartésiens non conformes

## 4.1 Inf-Sup instabilité

**Définition** : Mode en damier

Le mode en damier  $\psi^{\mathcal{D}}$  est défini par :

$$\begin{cases} \psi^{\mathcal{D}} = +1 & \text{si l'arête primale de } \mathcal{D} \text{ est horizontale,} \\ \psi^{\mathcal{D}} = -1 & \text{si l'arête primale de } \mathcal{D} \text{ est verticale.} \end{cases}$$

**Remarque** :  $m(\psi^{\mathcal{D}}) = 0$  et  $\|\psi^{\mathcal{D}}\|_{\mathcal{D},2} = 1$ .

**Théorème** : Maillage cartésien uniforme

Soit  $\mathcal{T}$  un maillage cartésien uniforme, alors :

$$(\operatorname{div}^{\mathcal{D}} v^{\mathcal{T}}, \psi^{\mathcal{D}})_{\mathcal{D}} = 0, \quad \forall v^{\mathcal{T}} \in \mathbb{E}_0.$$

**Théorème** : Maillage cartésien non conforme

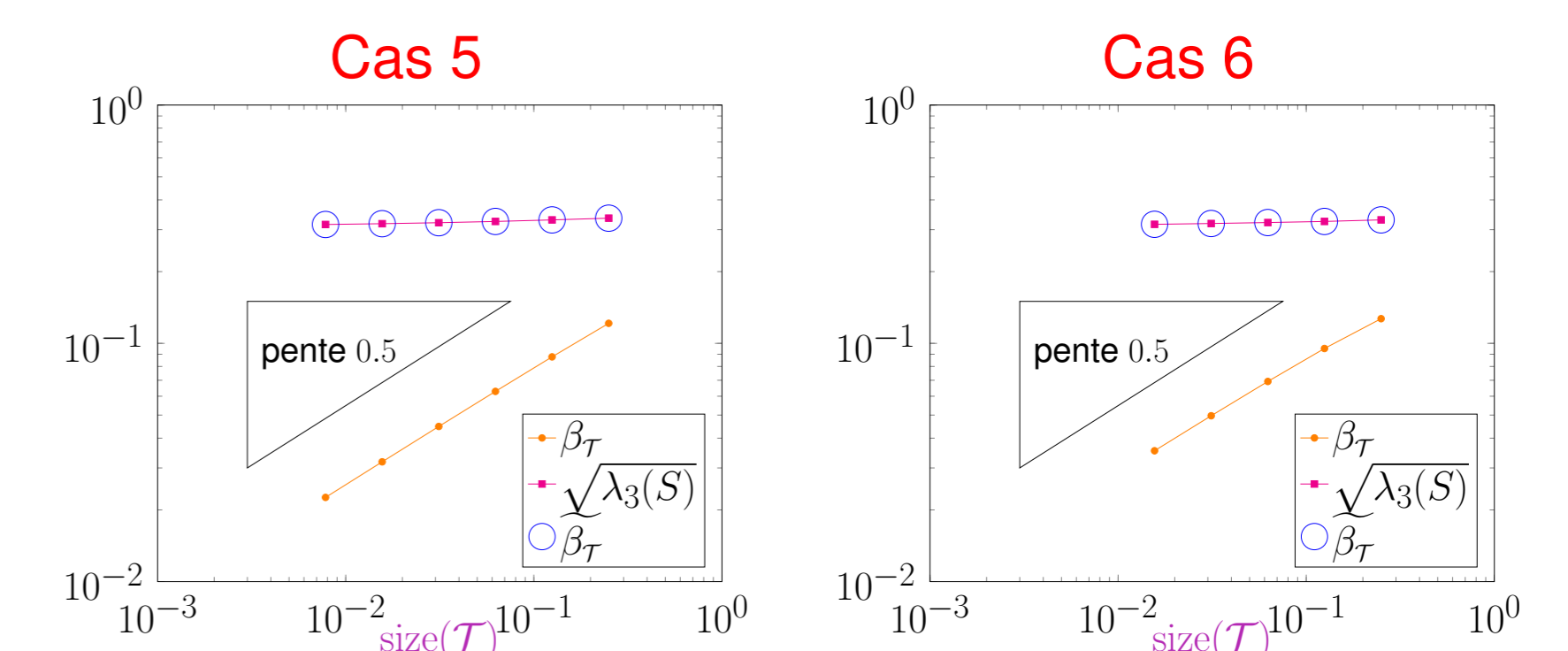
Soit  $\mathcal{T}$  un maillage cartésien non conforme (cas 5 et 6), alors il existe  $C_1, C_2 > 0$  (indépendantes de  $\operatorname{size}(\mathcal{T})$ ) telles que :

$$C_1 \operatorname{size}(\mathcal{T})^{\frac{1}{2}} \leq \sup_{v^{\mathcal{T}} \in \mathbb{E}_0} \left( \frac{(\operatorname{div}^{\mathcal{D}} v^{\mathcal{T}}, \psi^{\mathcal{D}})_{\mathcal{D}}}{\|\nabla^{\mathcal{D}} v^{\mathcal{T}}\|_{\mathcal{D},2}} \right) \leq C_2 \operatorname{size}(\mathcal{T})^{\frac{1}{2}}.$$

## 4.2 Résultats numériques

• Comparaison des valeurs propres de  $S_{\mathcal{T}}$  avec :

$$\tilde{\beta}_{\mathcal{T}} = \inf_{p^{\mathcal{D}} \in \{\psi^{\mathcal{D}}\}^{\perp}} \left( \sup_{v^{\mathcal{T}} \in \mathbb{E}_0} \frac{(\operatorname{div}^{\mathcal{D}} v^{\mathcal{T}}, p^{\mathcal{D}})_{\mathcal{D}}}{\|\nabla^{\mathcal{D}} v^{\mathcal{T}}\|_{\mathcal{D},2} \|p^{\mathcal{D}} - m(p^{\mathcal{D}})\|_{\mathcal{D},2}} \right).$$

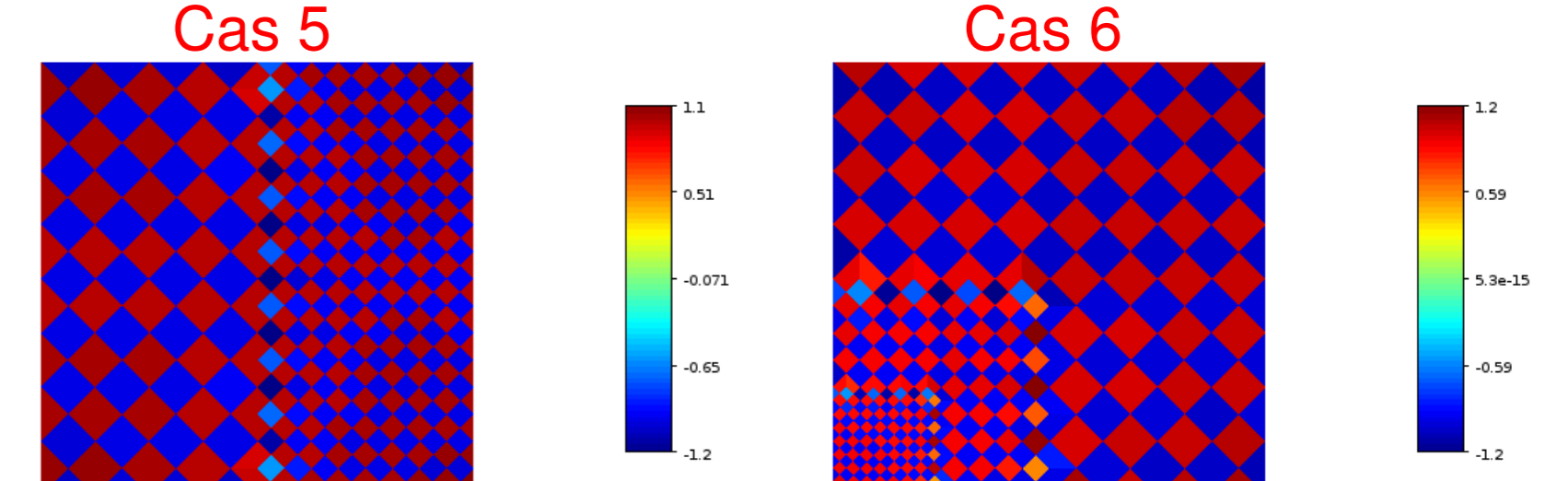


$\Rightarrow$  Instabilité **mais il y a un unique mode instable**.

$\Rightarrow \beta_{\mathcal{T}} \sim \sqrt{\lambda_3(S)}$ .

$\Rightarrow \psi^{\mathcal{D}}$  **bonne approximation du mode instable**.

• Modes instables :



**Pas de formule explicite pour ces modes !!**

## 4.3 Inf-Sup stabilité de codimension 1

**Théorème** : Soit  $\mathcal{T}$  un maillage cartésien, il existe  $\beta_{\mathcal{T}} > 0$  (indépendante de  $\operatorname{size}(\mathcal{T})$ ) telle que pour tout  $p^{\mathcal{D}} \in \mathbb{R}^{\mathcal{D}}$  vérifiant  $(p^{\mathcal{D}}, \psi^{\mathcal{D}})_{\mathcal{D}} = 0$  :

$$\beta_{\mathcal{T}} \|p^{\mathcal{D}} - m(p^{\mathcal{D}})\|_{\mathcal{D},2} \leq \sup_{v^{\mathcal{T}} \in \mathbb{E}_0} \left( \frac{(\operatorname{div}^{\mathcal{D}} v^{\mathcal{T}}, p^{\mathcal{D}})_{\mathcal{D}}}{\|\nabla^{\mathcal{D}} v^{\mathcal{T}}\|_{\mathcal{D},2}} \right).$$

**Théorème** : Asymptotique des modes instables

Soit  $\mathcal{T}$  un maillage cartésien non conforme, il existe  $C > 0$  (indépendante de  $\operatorname{size}(\mathcal{T})$ ) telle que :

$$\|q^{\mathcal{D}} - \psi^{\mathcal{D}}\|_{\mathcal{D},2} \leq C \operatorname{size}(\mathcal{T})^{\frac{1}{2}},$$

où  $q^{\mathcal{D}}$  est le mode propre instable observé numériquement.

## 5. Conjectures

Les tests numériques semblent montrer que la méthode DDFV est, en général, Inf-Sup stable. En particulier, on observe la stabilité dans les cas suivants :

• Maillages quadrangles conformes assez proches des rectangles.

• Maillages conformes composés de triangles et de rectangles (cas 4).

## References

- [1] F. BOYER, S. KRELL ET F. NABET, *Inf-Sup stability of the Discrete Duality Finite Volume method for the 2D Stokes problem*, soumis, <http://hal.archives-ouvertes.fr/hal-00795362>, 2013.
- [2] M. DOBROWOLSKI, *On the LBB condition in the numerical analysis of the Stokes equations*, Applied Numerical Mathematics, Vol. 54, Issue 3-4, 314-323, 2005.
- [3] T. GALLOUËT, R. HERBIN ET J.C. LATCHÉ, *W^{1,q} stability of the Fortin operator for the MAC scheme*, Calcolo, Vol. 49, Issue 1, 63-71, 2012.
- [4] S. KRELL, *Stabilized DDFV schemes for Stokes problem with variable viscosity on general 2D meshes*, Num. Meth. for PDEs, Vol. 27, Issue 6, 1666-1706, 2011.
- [5] D.S. MALKUS, *Eigenproblems associated with the discrete LBB condition for incompressible finite elements*, International Journal of Engineering Science, Vol. 19, Issue 10, 1299-1310, 1981.